

بکارگیری مدار معادل مشروح توسعه یافته در ابعاد بزرگ برای مطالعه حالت گذرای ترانسفورماتور

جعفر نصرتیان اهور^۱ سعید سیدطیابی^۲ گئورگ قره‌پتیان^۳

۱- دانشجوی دکتری- دانشکده مهندسی - دانشگاه شاهد- تهران- ایران

Jafar.ahoor@yahoo.com

۲- دانشیار- دانشکده مهندسی - دانشگاه شاهد- تهران- ایران

stabaii@shahed.ac.ir

۳- استاد- دانشکده مهندسی برق - دانشگاه صنعتی امیرکبیر- تهران- ایران

grptian@aut.ac.ir

چکیده: در این مقاله آنالیز پاسخ فرکانسی ترانسفورماتور با لحاظ ساختار سیم‌پیچی آن با استفاده از مدار معادل مشروح مورد بررسی قرار گرفته است و در آن یک روش ابتکاری جهت تخمین پارامترهای مدار معادل مشروح ارائه شده است تا بر مشکل تخمین پارامترها در مدارهای معادل بزرگ غلبه نماید. این روش ابتکاری بر روی مدل مشروح نوزده بخشی پیاده‌سازی شده است. از حل معادلات حالت مدار معادل ترانسفورماتور، پاسخ فرکانسی آن استخراج شده است. در این بررسی، عناصر مدار معادل وابسته به فرکانس مدل شده‌اند. در این مقاله همچنین مدار معادل مشروح جدیدی ارائه شده است که رفتار ترانسفورماتور را در مقایسه با مدل‌های پیشین با کیفیت مطلوب‌تری مدل می‌کند. روشی جهت اعتبارسنجی مدار معادل استخراج شده ارائه شده است. روش‌ها و ایده‌های جدید بیان شده بر روی یک سیم‌پیچ واقعی با توان نامی ۱,۶ مگا ولت آمپر و ولتاژ نامی ۲۰/۰,۴ کیلو ولت در آزمایشگاه پیاده‌سازی شده است.

کلمات کلیدی: ترانسفورماتور؛ مدار معادل مشروح؛ تابع تبدیل؛ آنالیز پاسخ فرکانسی؛ الگوریتم ژنتیک؛ معادله حالت

تاریخ ارسال مقاله: ۱۳۹۳/۱۱/۲۹

تاریخ پذیرش مشروط مقاله: ۱۳۹۴/۱۲/۱۶

تاریخ پذیرش مقاله: ۱۳۹۵/۰۲/۰۵

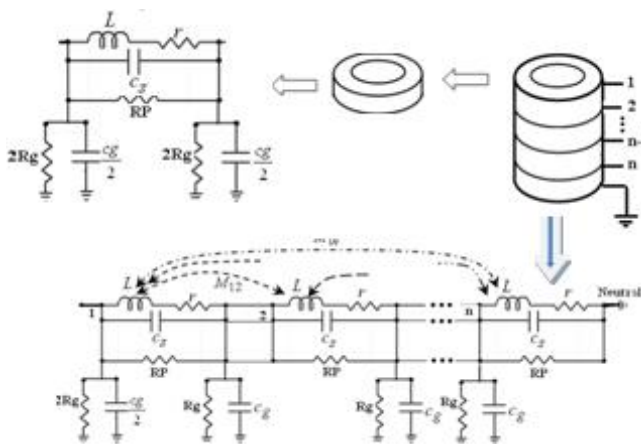
نام نویسنده‌ی مسئول: دکتر سعید سیدطیابی

نشانی نویسنده‌ی مسئول: ایران - تهران - بزرگراه خلیج فارس - پلاک ۴۲۴ - دانشگاه شاهد- دانشکده مهندسی - گروه برق

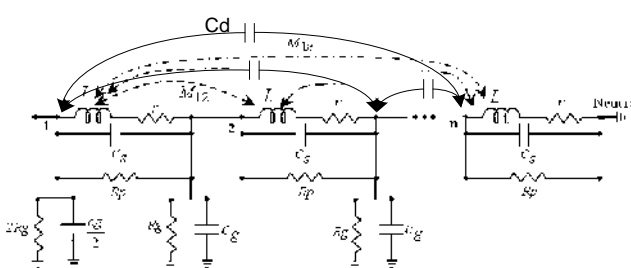
توسعه یافته با نتایج اندازه گیری های عملی مقایسه شده اند و نهایتاً بخش پنجم به جمع بندی یافته های این مقاله پرداخته است.

۲- معرفی مدل مشروح توسعه یافته

در مطالعات پیشین [۹-۱۱] مدل مشروح مرسوم نظیر شکل (۱) استفاده شده است. در شکل (۱) هر بخش مدل فشرده تعدادی از دورهای سیم پیچ را نشان می دهد. لذا در این مدل سازی هر سیم پیچ با تعداد محدودی بخش مدل می شود. هر بخش شامل خاصیت خازنی سری و موازی (C_s و C_g)، اندوکتانس های خودی و متقابل (M_{ij} و L)، مقاومت تلفات عایقی سری و موازی (R_p , R_g) و مقاومت اهمی سیم پیچ (r) است. در این مقاله به مدار معادل مشروح شکل (۱)، خازن های پراکنندگی بین دیسک ها (C_d) اضافه شده است تا مدل مشروح توسعه یافته شکل (۲) حاصل شود.



شکل (۱): مدار معادل مشروح سیم پیچ های ترانسفورماتور



شکل (۲): مدار معادل مشروح توسعه یافته

با مقایسه شکل (۱) و (۲) ملاحظه می شود که تعداد پارامترهای مدل مشروح توسعه یافته بیشتر از مدل مشروح مرسوم است که این مساله یافتن مقادیر مناسب پارامترهای مدل را پیچیده تر می کند.

ترانسفورماتور قدرت اغلب یکی از بزرگترین و گران قیمت ترین تجهیزات در سیستم های قدرت هستند [۱]. لذا مراقبت های ویژه در طراحی، ساخت، نصب و راه اندازی، بهره برداری و تعمیر و نگهداری آن ضروری است. تکنیک های تشخیصی الکتریکی، مکانیکی و شیمیایی متفاوتی جهت شناسایی عیوب ترانسفورماتور ارائه شده است و این تحقیقات به طور گسترده ادامه دار است. یکی از تکنیک های جدید ارزیابی وضعیت ترانسفورماتور تحلیل پاسخ فرکانسی است که به ویژه برای تشخیص عیوب مکانیکی سیم پیچ کارآمد و موثر است.

برای یافتن یک مدل مناسب و دقیق جهت بررسی رفتار ترانسفورماتور در حالت گذرا، تلاش های مختلفی صورت گرفته است که می توان به مدلسازی مبتنی بر ساختار فیزیکی ترانسفورماتور، مدل جعبه سیاه [۲-۳] و مدل هیبرید [۴] اشاره نمود. مدل مشروح یکی از مرسوم ترین مدل های ترانسفورماتور قدرت است که مبتنی بر ساختار فیزیکی ترانسفورماتور است [۲-۴]. در یک مدل مشروح اعتبار و دقت مدل بستگی به مقادیر پارامترهای مدل، تعداد بخش های مدار معادل تابع خطای انتخاب شده دارد. هنگامی که تعداد بخش های مدار معادل بزرگ انتخاب می شوند گرچه محدوده اعتبار فرکانسی مدل افزایش می یابد ولی در مقابل تعیین مقادیر مناسب پارامترها پیچیده تر شده و با توجه به بزرگتر شدن ابعاد معادلات سیستم، حل آن نیز زمان بر می شوند لذا برقراری مصالحه ای بین دقت مدل و ابعاد مدار معادل در فرآیند مدلسازی مورد نیاز است. روش های مختلفی با استفاده از الگوریتم های تکاملی نظیر الگوریتم ژنتیک، مورچگان [۵-۷] و ... جهت تعیین پارامترهای مدار معادل بکار رفته اند. به دلیل پیچیدگی مساله در یافتن پارامترهای مدل، اغلب مدل های بکارگیری شده با تعداد بخش های محدود بوده اند در این مقاله یک روش ابتکاری جهت تعیین پارامترهای مدار معادل مدل مشروح بزرگ ترانسفورماتور معرفی می شوند.

در این مقاله پس از بررسی مدل همگن و ناهمگن مدل مشروح مرسوم [۲-۵] ملاحظه شد که با این مدل فرکانس های رزونانس موثر به نحو مطلوبی قابل شناسایی است لیکن رزونانس های غیر موثر قابل شناسایی نیست. لذا مدار معادل مشروح توسعه یافته ارائه می شود که علاوه بر فرکانس های رزونانس موثر، توانایی شناسایی فرکانس های غیر موثر را نیز دارد.

در بخش دوم این مقاله مدل مشروح توسعه یافته معرفی شده است. عوامل مختلفی سبب پیچیده شدن مدلسازی ترانسفورماتور می شود که در بخش سوم مقاله به آنها اشاره شده است. همچنین در بخش سوم این مقاله، جهت دستیابی به مدل مناسب و کاهش زمان بهینه سازی یک روش کارآمد مبتنی بر الگوریتم ژنتیک پیشنهاد شده است. در بخش چهارم نتایج شبیه سازی مدار معادل مرسوم و

۱-۲- تعیین تابع تبدیل با بکارگیری معادلات فضای

حالت

معادلات فضای حالت یکی از روش های موثر و کاربردی جهت توصیف دینامیکی رفتار یک سیستم است. شکل عمومی فضای حالت یک سیستم خطی تغییر ناپذیر با زمان به شرح زیر است:

$$\begin{aligned} \dot{x} &= [A]x + [B]u \\ y &= [C]x + [D]u \end{aligned} \quad (1)$$

که در آن x : بردار فضای حالت، \dot{x} : مشتق اول بردار فضای حالت، u : بردار تحریک سیستم، Y : بردار خروجی و (A, B, C, D) : ماتریس ضرایب ثابت هستند.

انتخاب جریان سلف ها و ولتاژ خازن های موازی به عنوان متغیرهای حالت جهت توصیف رفتار دینامیکی مدار معادل مشروح شکل (۱) کافی است [۱۰]. در [۱۰] از مقاومت های عایقی (R_p, R_g) صرف نظر شده است. اما در این مقاله این مقاومتها لحاظ شده است. در [۱۰] گره یک به عنوان نقطه تحریک سیستم انتخاب شده است اما در این مقاله یک توصیف عمومی بکار رفته است تا بتوان به ازای انتخاب هر نقطه از سیستم به عنوان نقطه تحریک بتوان تابع تبدیل سیستم را محاسبه نمود. به عنوان نمونه اگر گره دو به عنوان نقطه تحریک انتخاب شود از عناصر بین گره یک و دو نمی توان صرف نظر کرد. در این مقاله در حالیکه سیم پیچ فشار ضعیف مدار باز است، امپدانس معادل ترانسفورماتور از از درجه گره یک و زمین در سمت فشار قوی به عنوان تابع تبدیل ترانسفورماتور انتخاب شده است.

۳- چگونگی تعیین پارامترهای مدار معادل با

استفاده از الگوریتم ژنتیک

بعد از مدلسازی ترانسفورماتور هدف یافتن مقادیر مناسب پارامترهای مدل است. روش های تحلیلی و تخمینی مختلفی جهت تعیین پارامترهای این مدل ارائه شده است [۹-۱۱]. روش تعیین پارامترها مبتنی بر محاسبه، نیازمند اطلاعات ساختار داخلی ترانسفورماتور است و با استفاده از روابط تحلیلی این پارامترها محاسبه می شوند [۸-۱۴]. از سوی دیگر روش های محاسباتی دارای خطای قابل ملاحظه اند [۱۴]. در روش تخمین پارامتر، یک ویژگی از ترمینال ترانسفورماتور اندازه گیری شده و تلاش می شود به نحوی پارامترها تعیین شوند که تابع خطای فی مابین شبیه سازی و اندازه گیری حداقل سازی شود [۵-۷]. برای دستیابی به یک مدل مناسب و قابل قبول، بکارگیری روابط و قیودی که ارتباط منطقی بین پارامترهای مدار معادل را لحاظ می نماید ضروری است. برخی از این قیود در [۵] بیان شده اند و بکارگیری این قیود مدارهای معادل غیرواقعی را حذف می نماید.

۳-۱- نکات موثر در تعیین پارامترهای مدار معادل

ماهیت رفتار ترانسفورماتور، غیرخطی و وابسته به فرکانس است [۸]. هدف اصلی در مدلسازی ترانسفورماتور یافتن مدار معادلی است که رفتار مدل مشابه با مقادیر اندازه گیری شده از ترمینال ترانسفورماتور واقعی باشد. در مدلسازی ترانسفورماتور، مدل های مختلفی جهت مطالعات حالت گذرای فرکانس بالا ارائه شده است [۸-۱۲]. در این مقاله مدل های مشروح شکل (۱) و (۲) جهت مدلسازی رفتار ترانسفورماتور بررسی شده اند. در مدل مشروح با بزرگتر شدن ابعاد مدل یافتن پارامترهای مدار معادل پیچیده می شود [۸-۱۲]. در اغلب مطالعات پیشین به جهت پیچیده شدن شرایط مدلسازی و افزایش قیود حاکم بر آن، تعداد بخش های مدار معادل کمتر از ده بخش انتخاب شده است [۵]. در این مقاله یک روش ابتکاری جهت تعیین مدار معادل مشروح بزرگ ترانسفورماتور ارائه می شود. جهت سادگی مدلسازی، اغلب مدل همگن فرض می شود لیکن در این مقاله علاوه بر مدل های همگن، مدل های ناهمگن نیز بررسی شده اند. برای تعیین پارامترهای مدار معادل فرضیات و نکات زیر بکار گرفته شده اند تا بتوان با بزرگ شدن ابعاد مدل، پارامترهای مدار معادل را به نحو مطلوب تعیین نمود.

• ساختار ماتریس اندوکتانس

فرض کنید یک سیم پیچ دارای N حلقه است و در آن L_{11} اندوکتانس خودی حلقه اول و اندوکتانس های $m_{1,2}, m_{1,3}, \dots, m_{1,n}$ ، نظیر رابطه (۲)، توصیف کننده اندوکتانس های تزویج بین حلقه اول و سایر حلقه ها است.

$$l = [L_{1,1} \quad m_{1,2} \quad m_{1,3} \quad \dots \quad m_{1,n}] \quad (2)$$

هر گاه ساختار سیم پیچ همگن فرض شود می توان ماتریس اندوکتانس سیم پیچ را نظیر رابطه (۳) بنا نمود:

$$L = \begin{bmatrix} L_{1,1} & m_{1,2} & m_{1,3} & \dots & m_{1,n} \\ m_{1,2} & L_{1,1} & m_{1,2} & \dots & m_{1,n-1} \\ m_{1,3} & m_{1,2} & L_{1,1} & \dots & m_{1,n-2} \\ \dots & \dots & \dots & \dots & \dots \\ m_{1,n} & m_{1,n-1} & m_{1,n-2} & \dots & L_{1,1} \end{bmatrix} \quad (3)$$

ضروری است براساس ساختمان سیم بندی ترانسفورماتور، اندوکتانس تزویج بین حلقه ها از قواعد خاصی تبعیت نماید تا مدل استخراج شده یک مدل منطبق بر واقعیات باشد در اغلب مراجع نامساوی هایی نظیر نامساوی های رابطه (۴) استفاده شده اند [۶ و ۵]:

$$\begin{aligned} 0.4L_{i,i} &< m_{i,i+1} < 0.85L_{i,i} \\ 0.5m_{i,j-1} &< m_{i,j} < 0.95m_{i,i} \\ \forall i &= 1, 2, \dots, N-1, \forall j = 2, 3, \dots, N-1 \end{aligned} \quad (4)$$

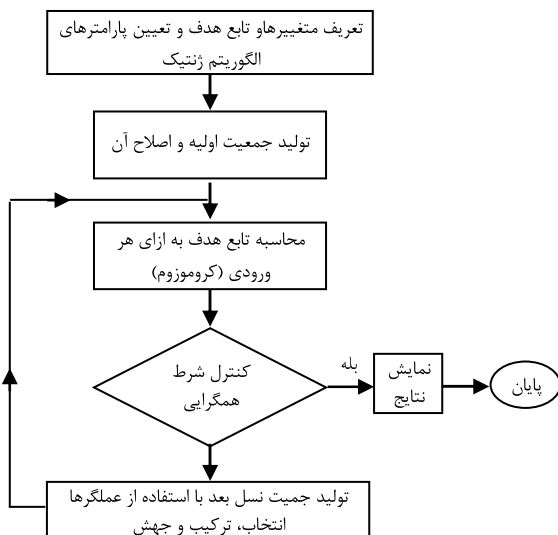
جهت پیشگیری از ایجاد پاسخ های نادرست و غیرواقعی در مرجع [۶ و ۵] الگوی مشخصی ارائه شده است که در رابطه (۵) این الگو بیان

سیم پیچ افزایش می‌یابد که در این مقاله به طور تقریبی با رابطه (۸) مدل شده است:

$$r \propto \sqrt{f} \quad (۸)$$

۳-۲- معرفی الگوریتم ژنتیک بکارگیری شده

الگوریتم ژنتیک یک روش بهینه‌سازی توانمند است که با تعریف متغیرهای بهینه‌سازی و تابع هدف شروع می‌شود [۱۵]. برای هر ورودی (هر کروموزوم) تابع ریاضی تعریف شده به عنوان تابع هدف مقداری را به عنوان خروجی ارائه می‌کند. این خروجی بیانگر میزان مناسب بودن یا نبودن ورودی است. پس از تعریف تابع هدف و انتخاب متغیرهای مساله ضروری است متناسب با دقت مورد انتظار، نسبت به کدینگ متغیرها اقدام شود (اغلب در مبنای دودویی این کدینگ صورت می‌گیرد). پس از انتخاب نحوه کدینگ متغیرها، بایستی جمعیت آغازین را به عنوان نقطه شروع الگوریتم ایجاد نمود که جمعیت اولیه نامیده می‌شود. جمعیت نسل بعدی از روی نسل قبل و با استفاده از عملگرهای الگوریتم ژنتیک (انتخاب، ترکیب و جهش) براساس فلوجارت شکل (۴) تولید می‌شوند.



شکل (۴): فلوجارت عملکرد الگوریتم ژنتیک در مسایل بهینه‌سازی

الگوریتم ژنتیک به دنبال یافتن مناسب‌ترین مقادیری است که تابع هدف با ازای آن مطلوب‌ترین مقدار را دارد. در این مقاله بردار پارامترهای مدار معادل (VP) با استفاده از الگوریتم به نحوی تعیین می‌شود تا تابع خطا تعریف شده در رابطه (۶) حداقل شود. برای این منظور پارامترهای جدید مدار معادل مبتنی بر بهینه‌ترین پاسخ نسل قبل به علاوه بردار تغییرات کوچک (مثبت و منفی) نظیر رابطه (۹) تعیین می‌شوند. بردار تغییرات کوچک با استفاده از الگوریتم ژنتیک ایجاد می‌شوند و میزان تغییرات هر پارامتر کمتر از $\pm 1\%$ آخرین مقدار بهینه برای آن پارامتر است.

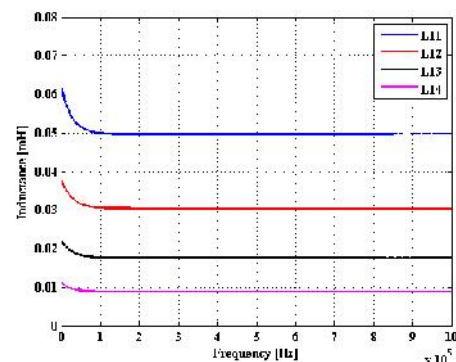
می‌شود. بررسی‌های این مقاله نیز نشان می‌دهد استفاده از این الگو از ارائه پاسخ‌های غیرواقعی پیشگیری می‌کند لذا مورد توصیه است.

$$(m_{ij} - m_{ik}) > (m_{ik} - m_{in}) \text{ If } |i - j| > |i - k| > |i - n| \quad (۵)$$

نامعادلات (۴) و (۵) اطمینان می‌دهند که ساختار تعیین شده، مدل یک ترانسفورماتور واقعی است.

• وابستگی عناصر ماتریس اندوکتانس به فرکانس

ماتریس اندوکتانس ترانسفورماتور از اندوکتانس‌های خودی و متقابل تشکیل می‌شود. این اندوکتانس‌ها با افزایش فرکانس کاهش می‌یابد [۱۳]. در [۱۳] روند تغییرات این اندوکتانس‌ها به ازای تغییر فرکانس از چند هرتز تا چندین کیلوهرتز مبتنی بر اندازه‌گیری‌های تجربی نظیر شکل (۳) ارائه شده است.



شکل (۳): تغییرات اندوکتانس به ازای تغییر فرکانس

• نحوه تعریف تابع خطا و بکارگیری آن در بهینه‌سازی

یکی از مرسوم‌ترین روش‌ها جهت تخمین پارامترهای مدار معادل ترانسفورماتور حداقل‌سازی اختلاف بین منحنی مرجع (F: ناشی از اندازه‌گیری) و نتایج شبیه‌سازی (S) براساس مدار معادل است [۵]. در این مقاله نیز این تابع خطا (EF) استفاده شده است:

$$EF = \frac{\sum_{i=1}^P \frac{|r_i - s_i|}{r_i}}{P} \quad (۶)$$

که در آن P تعداد نمونه‌های انتخاب شده از منحنی است.

• مدل مقاومت عایقی

مقاومت عایقی سیم پیچ ترانسفورماتور (R) با افزایش فرکانس (f) کاهش می‌یابد که در این مقاله نظیر رابطه (۷) مدل می‌شود:

$$R \propto \frac{1}{f} \quad (۷)$$

• مدل مقاومت اهمی سیم پیچ

رابطه ریاضی تغییرات مقاومت اهمی سیم پیچ (f) به ازای تغییرات فرکانس (f) قدری پیچیده است [۸]، با افزایش فرکانس مقاومت اهمی



Series استفاده شده است [۱۶] که دقت بسیار بالایی در اندازه گیری دارد.



شکل (۵): تجهیزات تست مورد استفاده

$$VP^{new} = VP^{old} + \Delta VP \quad (9)$$

که در آن داریم:

VP^{new} : بردار جدید پارامترهای مدار معادل:

$$[L_1, m_{1,2}, m_{1,3}, \dots, m_{1,n}, r, R_p, R_g, C_s, C_g]^{new}$$

VP^{old} : بردار پارامترهای مدار معادل از نسل قبل الگوریتم:

$$[L_1, m_{1,2}, m_{1,3}, \dots, m_{1,n}, r, R_p, R_g, C_s, C_g]^{old}$$

ΔVP : بردار تغییرات جزئی پارامترهای مدار معادل با استفاده از

$$\Delta [L_1, m_{1,2}, m_{1,3}, \dots, m_{1,n}, r, R_p, R_g, C_s, C_g]$$

الگوریتم ژنتیک: در بکارگیری الگوریتم ژنتیک در این مقاله تعداد جمعیت اولیه برابر ۵۰۰، احتمال ترکیب ۰٫۹۵ و احتمال جهش ۰٫۰۵ انتخاب شده اند.

۳-۳- شبیه سازی با مدل مشروح مرسوم

در این مقاله برای حالت های مختلف همگن و ناهمگن پارامترهای مدار معادل مشروح مرسوم تعیین می شوند. ترانسفورماتور مورد مطالعه به دو شکل تک سیم پیچ (حالت های الف) تا (الف ۵)) و دو سیم پیچ (حالت های (ب و ۲)) به شرح زیر مدل سازی می شود.

• **شبیه سازی حالت (الف ۱):** در این حالت، مدار معادل مشروح شبکه نظیر شکل (۱) به صورت تک سیم پیچ استفاده شده است که هر بخش دارای مقادیر و پارامترهای مشابه با سایر بخش ها است. این فرض سبب ساده سازی مدار، کاهش تعداد پارامترهای مجهول و افزایش سرعت همگرایی مساله خواهد شد. در این حالت مساله دارای ۲۴ پارامتر مجهول شامل r, R_p, R_g, C_s, C_g ، اندوکتانس خودی و اندوکتانس های متقابل است. به عنوان نمونه در جدول (۱) پارامترهای تخمین زده شده مدار معادل مشروح آورده شده است.

• **شبیه سازی حالت (الف ۲):** در این حالت با توجه به ساختمان ترانسفورماتور واقعی، اندوکتانس چهار دیسک ابتدا و چهار دیسک انتها مشابه و سایر دیسک ها مشابه فرض شده اند. در کل سیم پیچ مقاومت اهمی سیم پیچ، مقاومت عایقی و خازن های معادل یکسان فرض می شوند. در این حالت ۳۸ پارامتر مجهول تعیین می شود.

• **شبیه سازی حالت (الف ۳):** در این حالت تمام پارامترها به جز C_g مشابه بند (الف ۲) هستند و C_g در دیسک های نزدیک به زمین دارای مقادیر بزرگتری هستند. این حالت دارای ۵۶ پارامتر مجهول است.

• **شبیه سازی حالت (الف ۴):** در این حالت همه پارامترها به جز C_s و C_g مشابه پارامترها بند (الف ۳) است. در این حالت پارامترهای C_s و C_g دیسک ها متفاوت فرض شده است. لذا در این حالت ۷۴ پارامتر مجهول اند.

۳-۳- چگونگی تخمین اولیه بردار پارامترهای مدار معادل

بردار اولیه پارامترهای مدار معادل براساس توصیه ها و قیود فنی و روابط تحلیلی بیان شده در [۵ و ۸] تعیین شده است. همچنین در طول فرآیند بهینه سازی جهت کاستن زمان بهینه سازی و کاهش فضای جستجوی مساله استفاده از شرط اندوکتانس معادل ارائه شده در [۶] نظیر رابطه (۱۰) در فرکانس قدرت توصیه می شود:

$$L_{eq} = N_{ladder} \times L_{11} + 2 \times \sum_{i=1}^{N_{ladder}-1} (N_{ladder}-i) \times m_{1,i+1} \quad (10)$$

که در آن L_{eq} : اندوکتانس معادل سیم پیچ در فرکانس قدرت، N_{ladder} : تعداد سکشن های مدار معادل، L_{11} : اندوکتانس خودی در فرکانس قدرت و $m_{1,i+1}$: اندوکتانس متقابل در فرکانس قدرت است.

با لحاظ نمودن نامعادله های (۴) می توان اندوکتانس های تزویج را براساس مضربی از اندوکتانس خودی بیان نمود و با استفاده از رابطه (۱۰) می توان یک تخمین اولیه برای اندوکتانس خودی و تزویج بدست آورد.

۴- مطالعات موردی

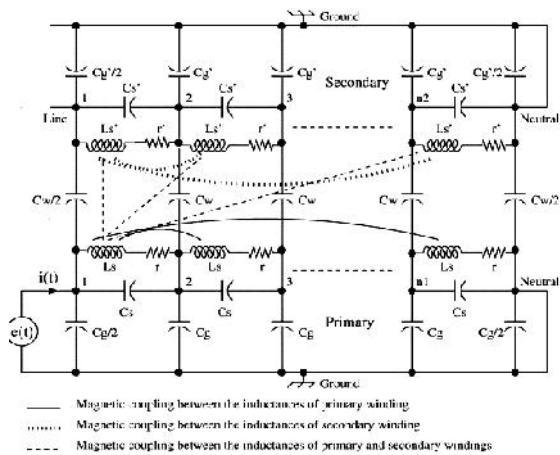
۴-۱- معرفی سیستم مورد آزمایش

در این مقاله آزمایش ها بر روی یک ترانسفورماتور ۲۰/۰٫۴ کیلوولت با قدرت اسمی ۱۶۰۰ کیلوولت آمپر انجام شد [۵]. در شکل (۵) این ترانسفورماتور نشان داده شده است.

۴-۲- معرفی تابع تبدیل مورد استفاده

در این مقاله امپدانس ورودی ترانسفورماتور مورد مطالعه از دیدگاه ترمینال فشار قوی آن هنگامی که فشار ضعیف آن مدار باز است اندازه گیری شده و به عنوان تابع تبدیل ترانسفورماتور استفاده شده است. برای اندازه گیری این تابع تبدیل از دستگاه امپدانس آنالایزر مدل Wayne Kerr Precision Impedance Analyzer 6500B

دیسک فشارقوی با دیسک مشابه آن در فشارضعیف، فقط یک خازن و مقاومت عایقی فرض شده است. در این حالت ۶۹ پارامتر مجهول اند



شکل (۷): مدار معادل ترانسفورماتور دو سیم پیچ تک فاز

حالت (ب ۲): این حالت مشابه حالت (ب ۱) است با این تفاوت که بین هر دیسک فشارقوی با تمام دیسک‌های فشارضعیف المانهای خازن با مقدار متفاوت و المان مقاومتی مشابه فرض شده‌اند. این حالت ۸۷ پارامتر مجهول دارد.

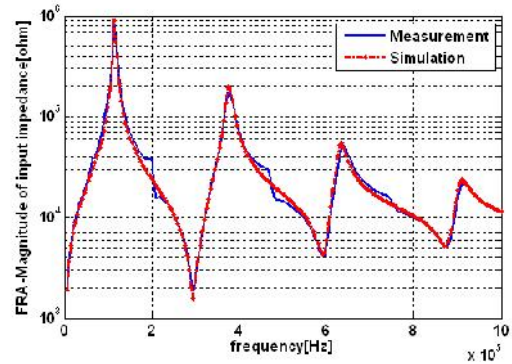
حالت (ب ۲) کامل‌تر حالت (ب ۱) است لذا نتایج بهینه‌سازی و تعیین تابع تبدیل آن در شکل (۸) آورده شده است. با بررسی شکل‌های (۶) و (۸) ملاحظه می‌شود که همه مدل‌های مشروح مرسوم فوق توانایی مدل نمودن رزونانس‌های موثر را دارند. اما رزونانس‌های غیرموثر با استفاده از این مدل‌های مشروح در وضعیت همگن یا ناهمگن قابل شناسایی نیست.

۴-۴- شبیه‌سازی با مدل مشروح توسعه یافته

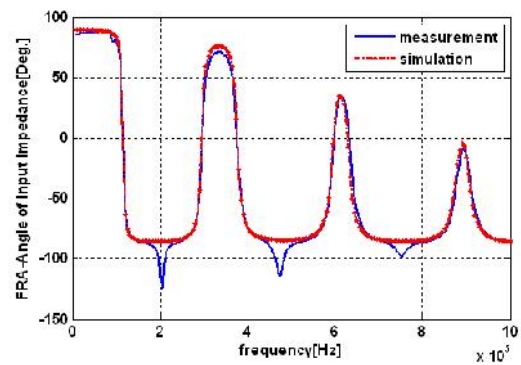
در این حالت مدار معادل مشروح توسعه یافته شکل (۲) مورد بررسی قرار گرفته است. ترانسفورماتور مورد مطالعه به صورت مدل دو سیم پیچ نظیر شکل (۷) مدل شده است. در این حالت به شکل (۷) خازن‌های پراکندگی نشان داده شده در شکل (۲) اضافه می‌شود. گرچه این ملاحظات سبب پیچیده شدن فرآیند تخمین پارامترهای مدار معادل مشروح می‌شود لیکن به واقعیت نزدیکتر است. نتایج شبیه‌سازی و تعیین پارامترها در شکل (۹) نشان داده شده است. با بررسی شکل (۹) ملاحظه می‌شود علاوه بر رزونانس‌های موثر، این مدل توانایی شناسایی رزونانس‌های غیرموثر را نیز دارد.

شبیه‌سازی حالت (الف ۵): در این حالت به جز پارامترهای R_g , r , R_p سایر پارامترهای هر دیسک با دیسک دیگر متفاوت است. این حالت دارای ۲۳۱ پارامتر مجهول است.

در بین شبیه‌سازی‌های حالت (الف ۱) تا (الف ۵)، حالت (الف ۵) کامل‌تر از بقیه است که نتایج بهینه‌سازی و تابع تبدیل آن در شکل (۶) آورده شده است.



دامنه (a)



فاز (b)

شکل (۶): مقایسه تابع تبدیل حاصل از شبیه‌سازی و اندازه‌گیری

حالت (الف ۵)

جدول (۱): پارامترهای مدار مشروح ترانسفورماتور

در حالت شبیه‌سازی الف-۱

پارامتر مدار	مقدار	پارامتر مدار	مقدار
L_{11} [mH]	0.395941	m_{1-13} [mH]	0.007293
m_{1-2} [mH]	0.329200	m_{1-14} [mH]	0.006640
m_{1-3} [mH]	0.286400	m_{1-15} [mH]	0.005988
m_{1-4} [mH]	0.246600	m_{1-16} [mH]	0.005339
m_{1-5} [mH]	0.208864	m_{1-17} [mH]	0.004690
m_{1-6} [mH]	0.173084	m_{1-18} [mH]	0.004042
m_{1-7} [mH]	0.139726	m_{1-19} [mH]	0.003397
m_{1-8} [mH]	0.124284	cs_1 [pf]	107
m_{1-9} [mH]	0.111001	cg_1 [pf]	4.76000
m_{1-10} [mH]	0.009873	r [Ω]	0.06889
m_{1-11} [mH]	0.008738	R_p [MΩ]	0.56778
m_{1-12} [mH]	0.007974	R_g [MΩ]	28.90219

حالت (ب ۱): در این حالت سیم پیچ اولیه و ثانویه نظیر شکل (۷) به صورت دو سیم پیچ مدل‌سازی شده است. در این حالت بین هر



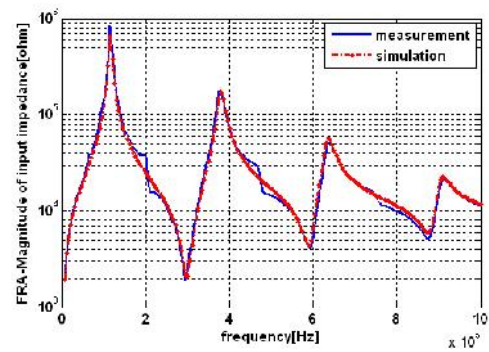
۴-۵- بررسی نتایج شبیه‌سازی مدل مشروح مرسوم و توسعه یافته

وقتی تعداد بخش‌های مدار معادل بزرگتر می‌شود و یا مدل به صورت ناهمگون فرض می‌شود یافتن پارامترهای مدار معادل سخت‌تر می‌شود. با مقایسه حالت‌های مختلف بررسی شده می‌توان نکات زیر را بیان نمود:

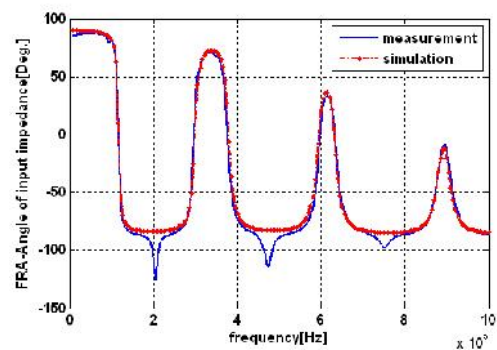
- ✓ برای یافتن پارامترهای مدار معادل روش ابتکاری ارائه شده یک روش کارآمد است که می‌تواند در شبکه‌های با تعداد بخش‌های زیاد و فرض مدل ناهمگون پارامترهای مدار معادل را با دقت و سرعت مطلوب تعیین کند. در این شبیه‌سازی تعیین پارامترهای مدار معادل بدون در اختیار داشتن اطلاعات هندسی و ساختمان ترانسفورماتور صورت گرفت که این موضوع بیانگر قوت و توانایی روش ابتکاری معرفی شده است.
- ✓ روش ارائه شده در این مقاله انطباق بین نتایج اندازه‌گیری و شبیه‌سازی را به طور مطلوب‌تری ارایه می‌کند.
- ✓ تخمین پارامترهای مدار معادل حالت (الف) ساده تر و سریع‌تر از سایر حالت‌ها است لیکن دقت آن از سایر حالت‌ها قدری کمتر است با این اوصاف این حالت به عنوان مدار معادل حالت پایه برای حالت‌های بعدی استفاده شده است تا زمان بهینه‌سازی را کمتر نماید.
- ✓ مدل‌های مشروح مرسوم و مدل مشروح توسعه یافته توانایی مدل نمودن رزونانس‌های موثر را دارند. اما تنها مدار معادل مشروح توسعه یافته توانایی نمایش رزونانس‌های غیر موثر را دارد.
- ✓ یافتن راهی که بین مدارهای معادل ارائه شده مدار معادل بهینه را تعیین نماید ضروری است.

۵- تعیین مدار معادل بهینه

صرفاً انطباق مشخصه اندازه‌گیری شده و شبیه‌سازی نمی‌تواند تضمین کننده صحت مدار معادل استخراج شده باشد. در اغلب مطالعات پیشین [۵-۶] اشاره شده است که در انطباق مشخصه اندازه‌گیری شده و شبیه‌سازی شده پاسخ یکتا وجود ندارد و این مساله بر پیچیدگی شناسایی مدار معادل مناسب و مطلوب می‌افزاید. در این مطالعات با توجه به اینکه نقطه اتصال بین دیسک‌ها در سیم‌پیچ در دسترس بود نسبت به اندازه‌گیری تابع تبدیل ترانسفورماتور مورد بررسی از دیدگاه گره دو نسبت به زمین و گره نوزده به زمین اقدام شد و با نتایج شبیه‌سازی‌ها در شکل‌های (۱۰) و (۱۱) مقایسه شد.

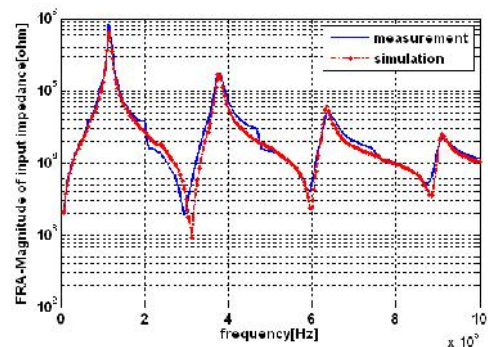


دامنه (a):

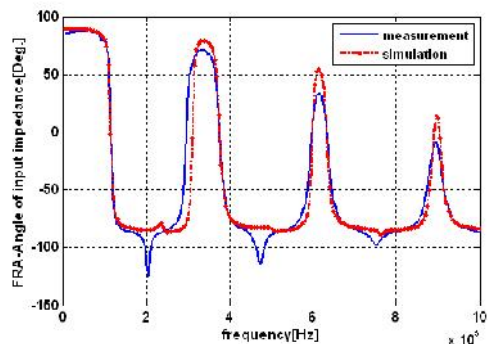


فاز (b):

شکل (۸): مقایسه تابع تبدیل حاصل از شبیه‌سازی و اندازه‌گیری حالت (ب)

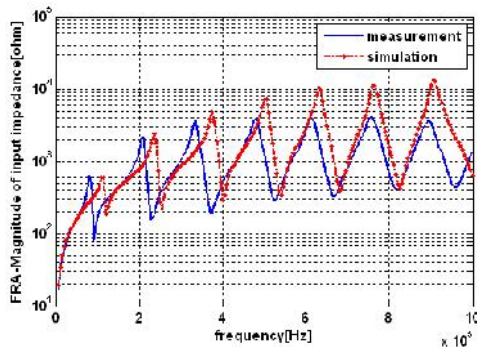


دامنه (a):



فاز (b):

شکل (۹): مقایسه تابع تبدیل حاصل از شبیه‌سازی و اندازه‌گیری مدل مشروح توسعه یافته



نتایج مدل مشروح توسعه یافته

شکل (۱۱): تابع تبدیل از گره شماره ۱۹

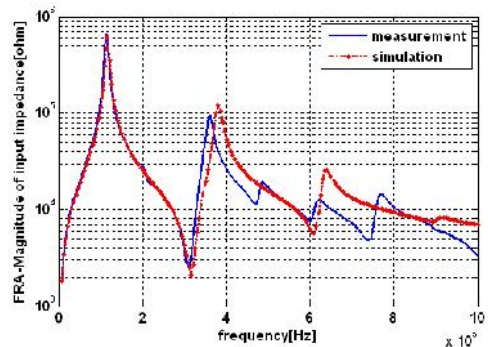
در مدل مشروح مرسوم، عدم توجه به رزونانس‌های غیرموثر سبب دستیابی به مدل‌هایی می‌شود که گرچه از دیدگاه ترمینال یک به طور مطلوب بر مشخصه رفتاری ترانسفورماتور منطبق هستند لیکن از دیدگاه گره‌های داخلی با خطای بسیار فاحشی رفتار آن را مدل می‌کنند. در حالیکه مدل مشروح توسعه یافته ضمن شناسایی رزونانس‌های موثر و غیر موثر از دیدگاه ترمینال یک، از دیدگاه گره‌های داخلی کیفیت رفتاری بهتری از ترانسفورماتور ارائه می‌کند.

۶- نتیجه‌گیری

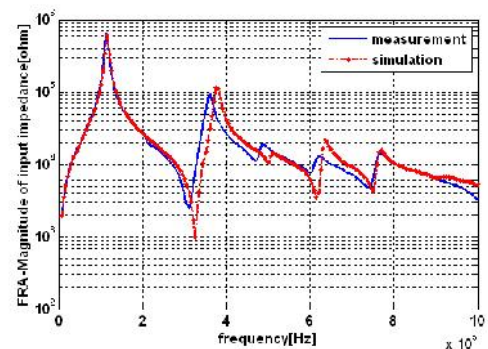
در این مقاله یک روش مناسب و سریع جهت استخراج پارامترهای مدار معادل ترانسفورماتور مبتنی بر الگوریتم ژنتیک ارائه شد. الگوریتم‌های پیشین با بزرگ شدن ابعاد مدار معادل به سختی امکان یافتن پارامترهای مناسب برای مدار معادل را داشتند که با استفاده از تکنیک ارائه شده می‌توان پارامترهای مدار معادل شبکه‌های بزرگ را با دقت قابل قبولی تعیین نمود. روش ارائه شده در تخمین پارامترهای مدار معادل در این مقاله در ساختار سیم پیچی همگن و ناهمگن قابل استفاده است. در مدل‌سازی حالت گذرای ترانسفورماتور، المانهای مدار معادل به ازای تغییرات فرکانس تغییر می‌نمایند در این مقاله از مدل‌های وابسته به فرکانس المانها استفاده شده است. روشی جهت اعتبار سنجی مدل‌ها ارائه شد و ضرورت اعتبار سنجی مدل‌ها تشریح شد. در این مقاله مدار معادل مشروح توسعه یافته ارائه شد و ملاحظه شد که مدار معادل توسعه یافته در مقایسه با مدل‌های مشروح مرسوم کیفیت رفتاری بهتری از ترانسفورماتور ارائه می‌نماید.

مراجع

- [1] E.bjerkkan " High frequency modeling of power transformers " Doctoral Thesis, Trondheim, May 2005
- [2] P. Vaessen, "Transformer model for high frequencies," IEEE Trans. Power Del., vol. 3, no. 4, pp. 1761–1768, Oct. 1988.
- [3] A. Morched, L. Marti, and J. Ottewangers, "A high frequency transformer model for the EMTP," IEEE Trans. Power Del., vol. 8, no. 3, pp. 1615–1626, Jul. 1993.



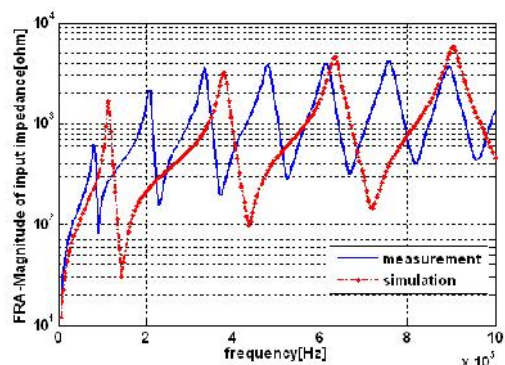
نتایج حالت (ب) مدل مشروح مرسوم



نتایج مدل مشروح توسعه یافته

شکل (۱۰): تابع تبدیل از دیدگاه گره شماره دو

ملاحظه می‌شود که از دیدگاه گره‌های داخلی دقت مدل مشروح توسعه یافته بهتر از مدل مشروح مرسوم است. با بررسی نتایج شبیه‌سازی و اندازه‌گیری‌ها از دیدگاه گره داخلی سیم پیچ‌ها می‌توان دریافت که صرفاً انطباق مشخصه اندازه‌گیری و شبیه‌سازی از ترمینال اصلی نمی‌تواند بیانگر دقت مدل باشد و ضروری است به اعتبارسنجی مدل دقت ویژه‌ای داشت. همانگونه که در شبیه‌سازی‌ها ملاحظه می‌شود مدل مشروح مرسوم شکل (۱) امکان مدل نمودن رزونانس‌های غیرموثر را ندارند.



نتایج حالت (ب) مدل مشروح مرسوم



- [4] G. B. Gharehpetian, H. Mohseni, and K. Moller, "Hybrid modeling of inhomogeneous transformer windings for very fast transient over voltage studies," *IEEE Trans. Power Del.*, vol. 13, no. 1, pp. 157–163, Jan. 1998.
- [5] Masoud M. Shabestary, Ahmad Javid Ghanizadeh, G. B. Gharehpetian, and Mojtaba Agha-Mirsalim "Ladder Network Parameters Determination Considering Nondominant Resonances of the Transformer Winding" *IEEE Transaction on power delivery* , Volume: 29 , Issue: 1 , Page(s): 108 – 117, 2014
- [6] Pritam Mukherjee and L. Satish," Construction of Equivalent Circuit of a Single and Isolated Transformer Winding From FRA Data Using the ABC Algorithm" *IEEE TRANSACTIONS ON POWER DELIVERY*, VOL. 27, NO. 2, APRIL 2012
- [7] A. Shintemirov, W. H. Tang, Z. Lu, and Q. H. Wu, "Simplified transformer winding modeling and parameter identification using particle swarm optimizer with passive congregation," *App. Evol. Comput.*, vol. 4448, Lect. Notes Comput. Sci., pp. 145–152, 2007.
- [8] Juan A. Martinez-Velasco," Power System Transients Parameter Determination" CRC Press, 2010 by Taylor and Francis Group, LLC
- [9] A. Shintemirov, W. H. Tang, and Q. H. Wu, "A hybrid winding model of disc-type power transformers for frequency response analysis," *IEEE Trans. Power Del.*, vol. 24, no. 2, pp. 730–739, Apr. 2009.
- [10] K. Ragavan and L. Satish " An Efficient Method to Compute Transfer Function of a Transformer From its Equivalent Circuit" *IEEE TRANSACTIONS ON POWER DELIVERY*, VOL. 20, NO. 2, APRIL 2005
- [11] L. Satish, Subrat K. Sahoo" Locating faults in a transformer winding: An experimental study" *Electric Power Systems Research* Volume 79, Issue 1, January 2009, Pages 89–97
- [12] Pablo.Gómez, Franciscode León." Accurate and efficient computation of the inductance matrix of transformer winding for the simulation of very fast transients" *IEEE TRANSACTIONS ON POWER DELIVERY*, VOL. 26, NO. 3, JULY 2011
- [13] Enrique E. Mombello," Impedances for the Calculation of Electromagnetic Transients Within Transformers" *IEEE TRANSACTIONS ON POWER DELIVERY*, VOL. 17, NO. 2, APRIL 2002
- [14] Gómez, F. deLeónand F. P. Espino-Cortés" Improvement of a Method to Compute the Inductance Matrix of Multilayer Transformer Windings for Very Fast Transients" *IEEE TRANSACTIONS ON POWER DELIVERY*, VOL. 28, NO. 2, APRIL 2013
- [15] K. F. Man, K. S. Tang, and S. Kwong, "Genetic algorithms: Concepts and applications," *IEEE Trans. Ind. Electron.*, vol. 43, no. 5, pp. 519–534, Oct. 1996.
- [16] Wayne Kerr Electronics Co., Technical data sheet of precision impedance analyzers, Oct. 2008, Issue B. [Online]. Available: <http://www.waynekerrtest.com/global/html/products/impedanceanalysis/6500B.htm>

